# BENCHMARK EN SOFTWARE LIBRE

## Proyecto de Máster. Curso 2011-12. Máster Oficial en Ingeniería Matemática

Autor: Alejandro Adan Diez Tutores: Patricia Barral Rodi $\tilde{n}o(USC)/Jose\ Villar\ Prieto(CTAG)$ 

#### **RESUMEN**

El objetivo de este trabajo es evaluar la capacidad y la eficiencia de los paquetes de software libre actuales para la simulación numérica en el área de la mecánica de sólidos. El proyecto se divide en dos fases:

**Fase 1.** Búsqueda, comparación y elección de software libre. Se escoge Salome Meca 2011.2, que unifica Salome Platform y Code Aster como pre/post-procesador y solver.

**Fase 2.** Resolución de tres casos planteados CTAG y comparación de la solución software libre vs MSC.Nastran.

Caso 1 & 2: elasticidad lineal & plasticidad finita no lineal [1]

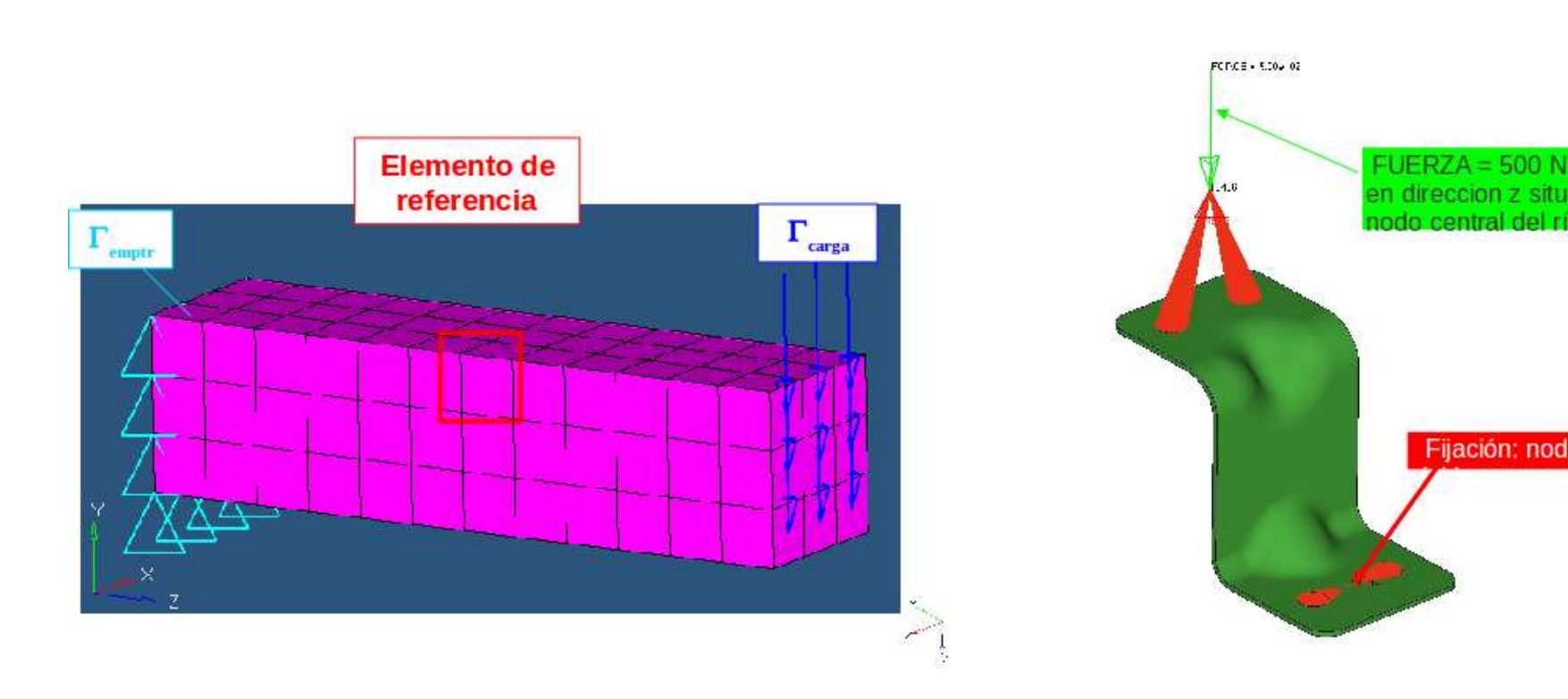


Fig. 1: Condiciones de contorno del caso 1 y 2:

Condiciones de contorno aplicadas al caso 1.

$$\sigma \mathbf{n} = \mathbf{0}$$
 en  $\Gamma - (\Gamma_{carga} \cup \Gamma_{emptr})$ 
 $\sigma \mathbf{n} = (0, -12, 0)^T$  en  $\Gamma_{carga}$  (1)
 $\mathbf{u} = \mathbf{0}$  en  $\Gamma_{emptr}$ 

Condiciones de contorno aplicadas al caso 2:

$$\boldsymbol{\sigma} \mathbf{n} = \mathbf{0}$$
 en  $\Gamma - (\Gamma_D \cup \Gamma_N)$ 
 $\boldsymbol{\sigma}_t = (500, 0, 0)^T$  en  $\Gamma_N$ 
 $u_n = 0$  en  $\Gamma_N$ 
 $\mathbf{u} = \mathbf{0}$  en  $\Gamma_D$ 

#### Caso 3: termo-elásticidad lineal isótropa

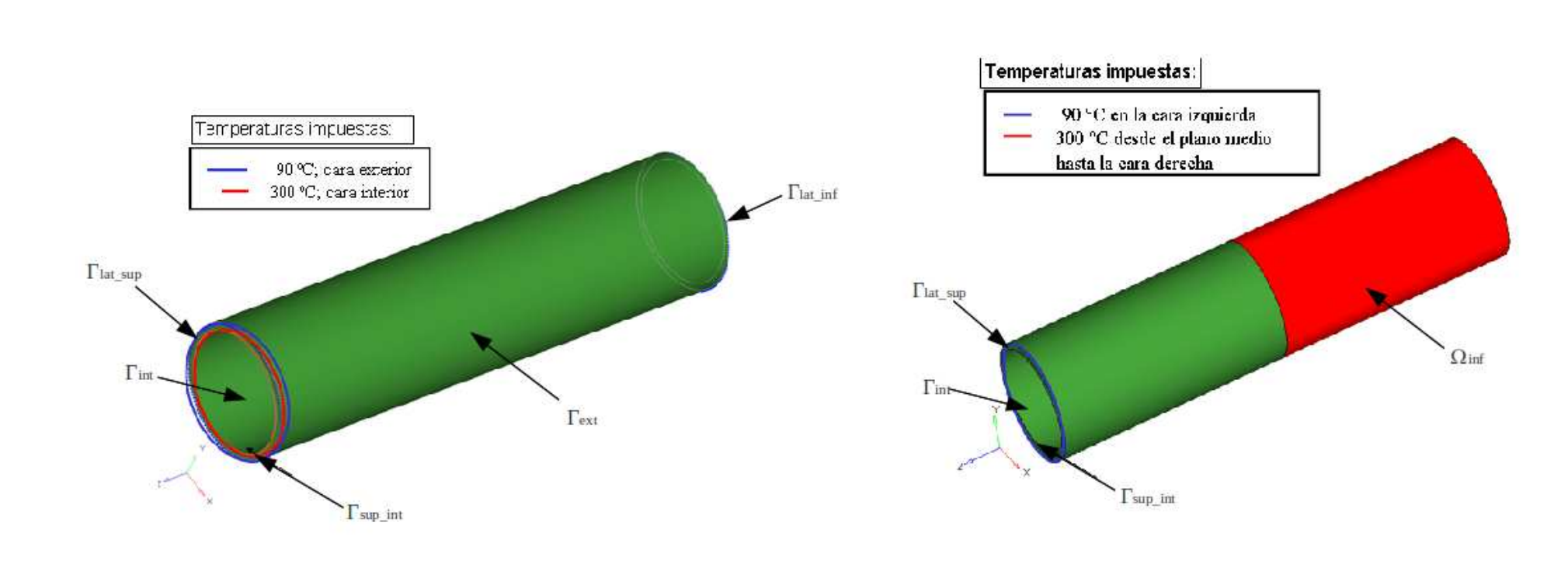
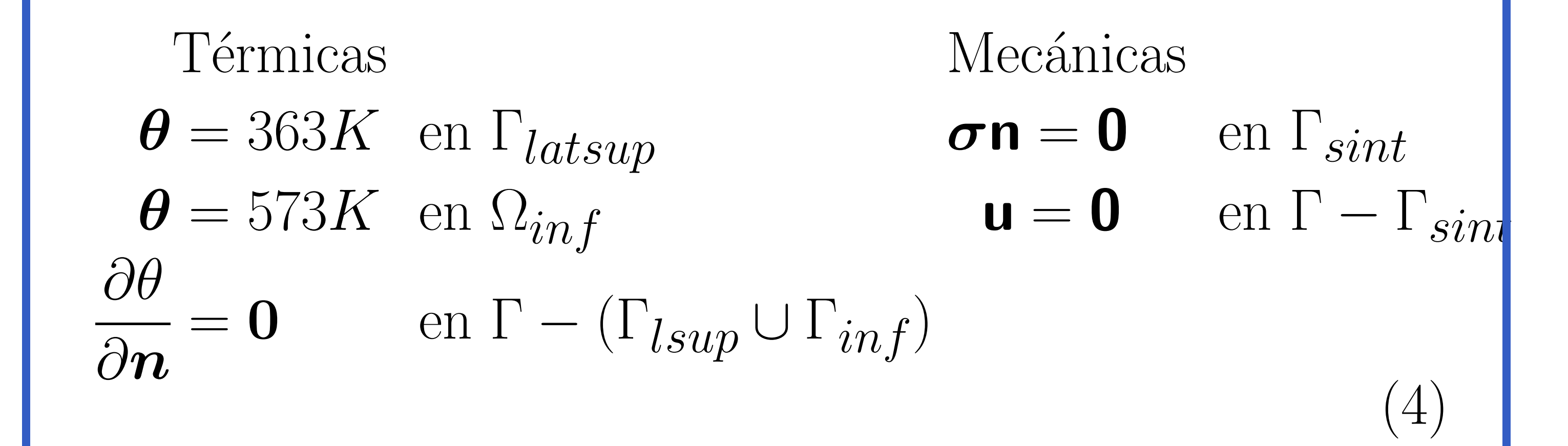


Fig. 2: Condiciones de contorno del Caso 3a y 3b.

Condiciones de contorno aplicadas al caso 3a:

Térmicas Mecánicas 
$$\boldsymbol{\theta} = 363K \text{ en } \Gamma_{ext} \qquad \boldsymbol{\sigma} \mathbf{n} = \mathbf{0} \text{ en } \Gamma_{sint}$$
$$\boldsymbol{\theta} = 573K \text{ en } \Gamma_{int} \qquad \mathbf{u} = \mathbf{0} \text{ en } \Gamma - \Gamma_{sint}$$
$$\frac{\partial \theta}{\partial \boldsymbol{n}} = \mathbf{0} \text{ en } \Gamma_{lsup} \cup \Gamma_{latinf}$$
(3)

Condiciones de contorno para el caso 3b:



## RESULTADOS/RESULTS

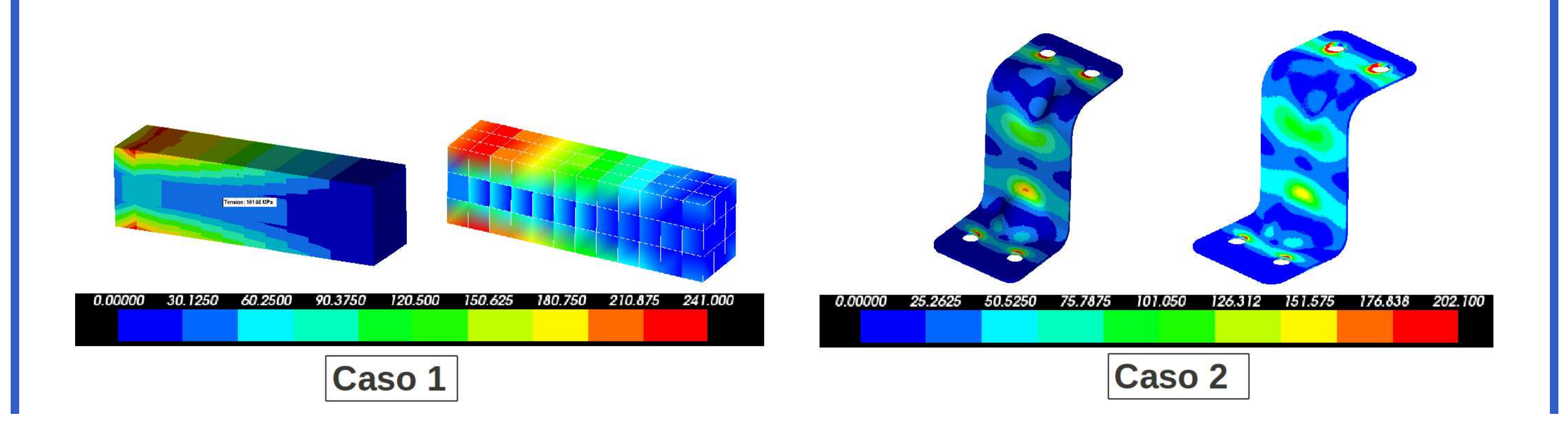


Fig. 3: Tensión de Von Mises del caso 1 y 2: Nastran vs Code Aster. Diferencias en valores nodales e igualdad en los valores del centroide del elemento para el caso 1 (ver [2],[3]). Para el caso 2, buen ajuste cualitativo pero no cuantitativo debido a la diferencia del modelo elastoplástico (ver[1]).

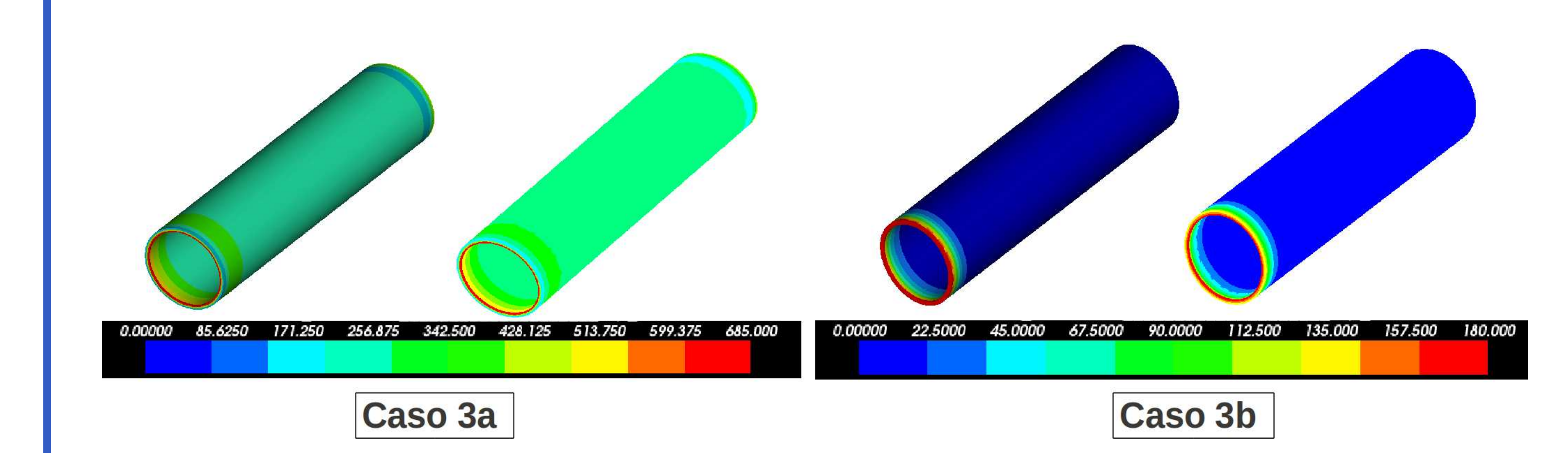


Fig. 4: Tensión de Von Mises del caso 3a y 3b: Nastran vs Code Aster. Analogía de resultados cualitativos y cuantitativos.

### REFERENCIAS/REFERENCES

- [1] J.C. Simo and C. Miehe. Associative coupled thermoplasticity at finite strains: Formulation, numerical analysis and implementation. Computer Methods in Applied Mechanics and Engineering 98 (1992) 41-104.
- [2] Fondo documental del software libre Code Aster: http://www.code-aster.org/V2/doc/default/fr/
- [3] MSC.Software Corporation. MSC.Nastran Reference Manual. 2004





